

图神经网络导论

图结构学习

授课教师：周晟

浙江大学 软件学院

2022.12



课程内容

- 1 研究背景
- 2 基于优化的图结构学习
 - LDS
 - Pro-GNN
- 3 基于图结构学习的图神经网络
 - AGCN
 - GRCN
 - PTDNet
 - Geom-GCN
 - IDGL
- 4 基于生成模型的图结构学习
- 5 无监督的图结构学习



上节课回顾



计算机网络



社交网络



交通网络



神经元网络



卫星网络



困难与挑战

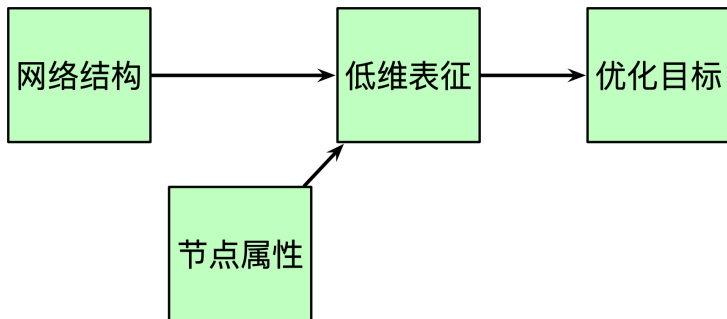
- ① 传统图神经网络难以充分建模富信息网络特点
- ② 不同类型富信息网络需要设计不同的图神经网络结构

常见的富信息图神经网络

- ① 有向图
- ② 异构图
- ③ 动态图

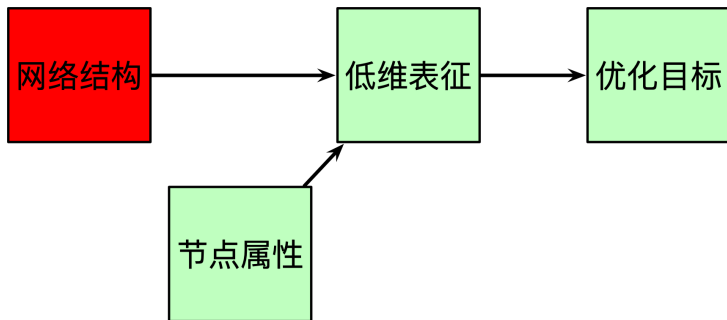
图神经网络的原理

通过将节点的信息沿着网络结构传递 (Message Passing), 捕获节点间的关系和节点的特征, 学习更好的图 (节点, 边, 图) 表征。



图神经网络基本框架

研究背景



网络结构受损下的图神经网络

问题与挑战

实际场景中，网络结构往往面临受损或缺失的问题，使得依赖网络结构信息的图神经网络效果严重下降。

图结构缺失问题

- ① 数据天然的稀疏性（社交网络关注量有限）
- ② 数据采集、存储过程中丢失
- ③ 人为隐藏关系（犯罪）
- ④ 数据集本身没有关系型结构



图结构冗余问题

- ① 数据采集、存储过程中错误
- ② 电商网络中，刷单行为（诈骗高发）
- ③ 人为注入，“浑水摸鱼”



图结构学习的意义

图结构学习对于图神经网络的理论和应用均有重要意义：
图结构方面：

- ① 理解数据间的真实关系（因果）
- ② 预测图结构演化趋势
- ③ 发掘数据中异常关系

图神经网络方面：

- ① 更好的消息传递路径
- ② 迭代升级的图神经网络框架
- ③ 鲁棒图神经网络



图数据的思考

我们希望生成什么样的图？（和真实世界的图尽量接近/相似）

- ① 二八定律（Pareto principle，也被称为 80/20 法则、关键少数法则、八二法则、帕累托法则），是指约仅有 20% 的变因操纵着 80% 的局面。
- ② 网络中节点的度的分布，并不是均匀的。
- ③ ...



同质性 (homophily)

同质性 (homophily)

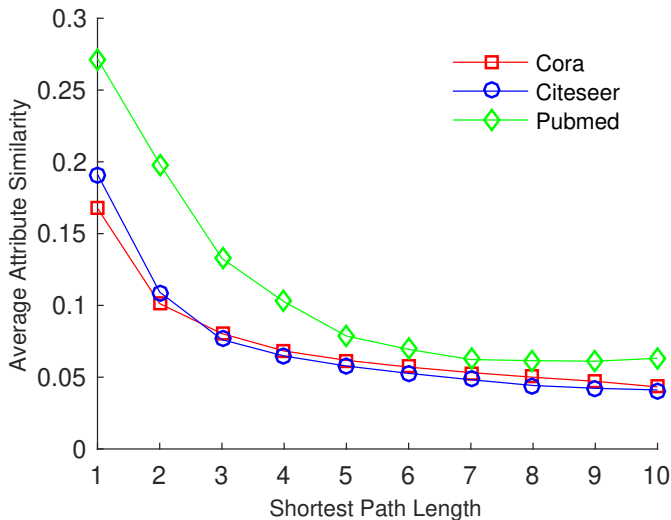
同质性 (homophily), 指一个图网络中相邻节点相似的程度。在节点分类任务中, 同质性通常被定义为相邻节点属于同一类别的概率。

可以证明, 在同质性为 1 的极端情况下, GNN 可以达到100%的准确率。因此, 如何产生更具有同质性的图结构是图结构学习中值得思考的问题。



特征平滑性 (Smoothness)

真实数据集上节点属性和拓扑结构相关性分析



除了节点级的局部特征，大规模真实图数据往往具备特殊的宏观性质。

常用如下四种统计量来描述一个图的全局性质：

- ① 度分布, Degree distribution: $P(k)$
- ② 聚类系数, Clustering coefficient: C
- ③ 连通区域, Connected components: s
- ④ 路径长度, Path length: h



图统计量

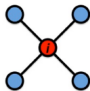
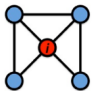
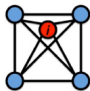
- 度分布, Degree distribution $P(k)$ 是指: 度为 K 的节点数量的分布, $N_k =$ 度为 k 的节点数量,

$$P(k) = N_k/N$$

- 聚类系数, Clustering coefficient

$$C_i = \frac{2e_i}{k_i(k_i - 1)}$$

- e_i 是 i 节点的邻居中互相连边的数量
- k_i 是 i 节点的度



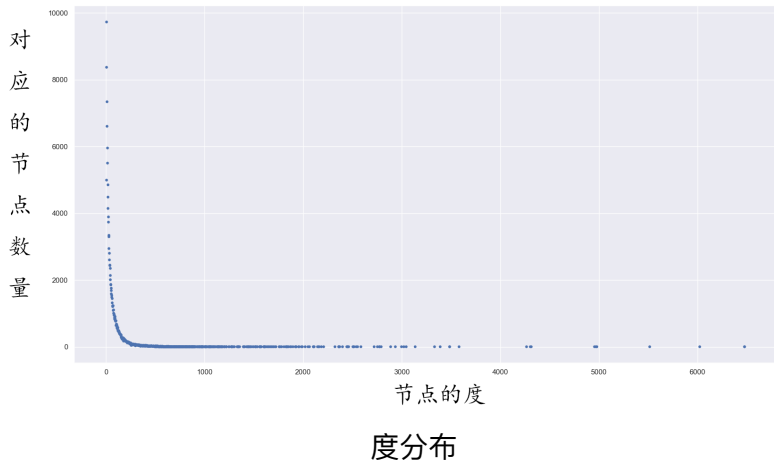
$$C_i \in [0, 1]$$



- 连通区域, Connected components, 指图中联通区域按大小排序, 其不同大小连通区域数量的分布
- 路径长度, Path length, 指图中所有存在的最短路径的长度分布
- 以 Twitter 的社交网络图数据集为例, 该数据集的邻接矩阵大小为 157575×157575

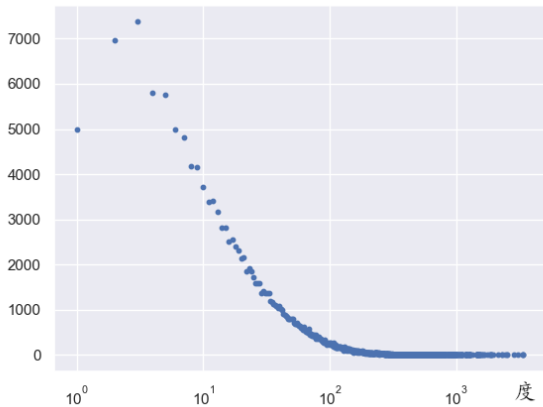


图统计量-以 Twitter 数据集为例



图统计量-以 Twitter 数据集为例

点的数量



横轴指数化的度分布

随机图的度分布

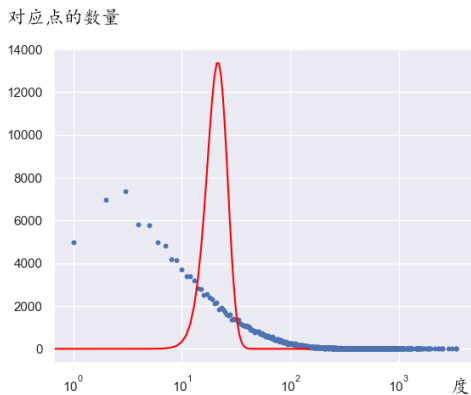
$$p(k) = \binom{N-1}{K} P^k (1-P)^{N-1-k}$$

- 一个点的度为 k 的概率（有 k 个点与之相连），等价于除它本身之外的 $N-1$ 个点选 k 个和它相连，剩下 $N-1-k$ 和它不连的概率。 P 是两点之间存在一条边的概率， $P = \frac{E}{N*N}$ 。典型二项分布。
- 好的图结构学习结果应保留图的这种天然特性

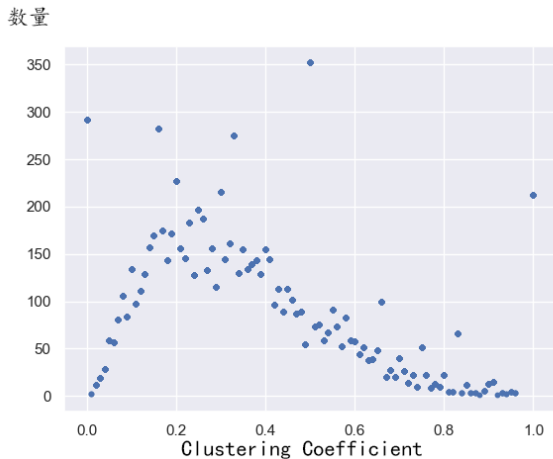


随机图的度分布

- 以 Twitter 数据集为例，其中共有 157575 点 3530653 边，把真实分布和随机分布 (红色) 画在一起



图统计量-以 Twitter 数据集为例



随机 10000 个节点的 Clustering Coefficient 分布
均值为 0.34



随机图的聚类散度

- 对于一个随机图中的节点来说，其平均聚类散度的期望值为：

$$E[C_i] = \frac{2 * E[e_i]}{k_i(k_i - 1)} = \frac{2 * p \frac{k_i(k_i - 1)}{2}}{k_i(k_i - 1)} = p = \frac{\bar{k}}{n - 1}$$

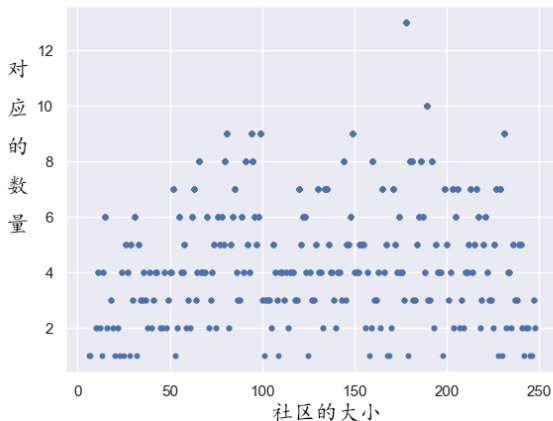
其中 n 为节点数， \bar{k} 是平均度数

- 对 Twitter 数据集而言，同等数量的节点和边构成的随机图，聚类散度的期望是 $\frac{3530653}{157575 * 157575} = 0.0001421$



图统计量-以 Twitter 数据集为例

- 连通区域分布：Twitter 数据集是一个全连通图！

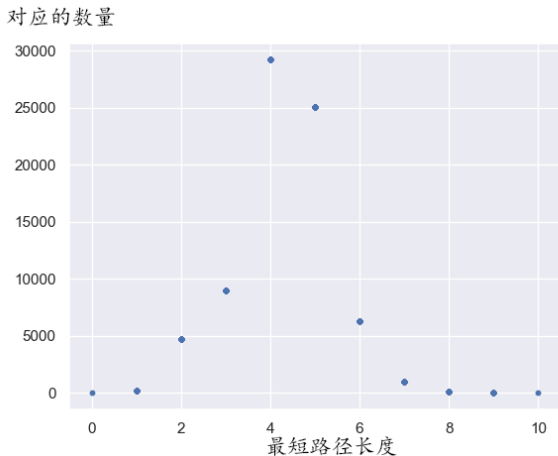


运行社区发现算法，得到的社区大小分布图



图统计量-以 Twitter 数据集为例

- 计算资源有限，随机 1000 个点的单源最短路径统计分布



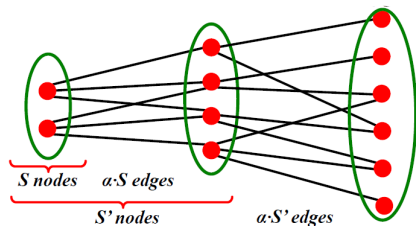
最短路径长度分布图



随机图的最短路径分布

- 如果图是连通的，那么 BFS 遍历树的第二层应该是初始点的邻接点，然后依次展开直到覆盖图中所有点。假设遍历的是随机图，那么这棵树的深度的期望就应该是

$$\log_{\text{平均的度}} \text{节点总数} = \log_{np} n = \log n / \log np$$



- 对于 Twitter 图来说，平均最短路径的期望为 $O((\log_{3530653/157575} 157575)) \approx 3.8489422080670335$



1 研究背景

2 基于优化的图结构学习

- LDS
- Pro-GNN

3 基于图结构学习的图神经网络

- AGCN
- GRCN
- PTDNet
- Geom-GCN
- IDGL

4 基于生成模型的图结构学习

5 无监督的图结构学习



基于优化的图结构学习

研究动机

图结构可以看作节点之间是否有边的参数的集合，可以直接对图结构进行参数化学习。

困难与挑战

- 1 优化目标如何确定？
- 2 参数量大 ($O(N^2)$)
- 3 离散优化，难以训练

Learning Discrete Structures for Graph Neural Networks (LDS)¹

研究动机

真实世界的图结构往往是**噪声的**或者**无法观测的**，而不好的图结构也将限制基于图数据训练的图神经网络的效果，因此希望将图结构与图神经网络在统一的框架下进行学习。

亮点

- ① 第一个对结构进行**学习**的工作，打开了后续 GSL 的大门。
- ② 双层优化 (Bilevel Programming) 影响了很多后续工作

¹Learning Discrete Structures for Graph Neural Networks(ICML 2020)

LDS: Bilevel Programming

$$\min_{A, w_A} F(w_A, A) \text{ such that } w_A \in \arg \min_w L(w, A).$$

$$L(w, A) = \sum_{v \in V_{train}} l(f_w(X, A)_v, y_v) + \Omega(w)$$

$$F(w_A, A) = \sum_{v \in V_{val}} l(f_{w_A}(X, A)_v, y_v)$$

特点: 两个变量 A, w_A 之间并不独立, w_A 是 A 确定情况下优化问题的最小解。

难点: 内层优化 w_A 通常不能得到解析解



优化难点

邻接矩阵中的元素是离散变量，无法直接求导

LDS 假设 A 从多个独立的伯努利分布中生成：

$$A \sim \text{Ber}(\theta), \theta \in (0, 1)^{n \times n}$$

优化问题变为：

$$\min_{\theta} \mathbb{E}_{A \sim \text{Ber}(\theta)} [F(w_{\theta}, A)]$$

$$\text{such that } w_{\theta} = \arg \min_w \mathbb{E}_{A \sim \text{Ber}(\theta)} [L(w, A)]$$



LDS: 内层优化

$$w_\theta = \arg \min_w \mathbb{E}_{A \sim \text{Ber}(\theta)} [L(w, A)]$$

$$\mathbb{E}_{A \sim \text{Ber}(\theta)} [L(w, A)] = \sum_{A \in \mathcal{H}_N} P_\theta(A) L(w, A)$$

由于采样过程的存在，上式不可能直接求出。

LDS 每次采样一个结构梯度下降：

$$w_{\theta,t+1} = w_{\theta,t} - \gamma \nabla L(w_{\theta,t}, A_t), A_t \sim \text{Ber}(\theta)$$



LDS: 外层优化

$$\min_{\theta} \mathbb{E}_{A \sim \text{Ber}(\theta)} [F(w_{\theta}, A)]$$

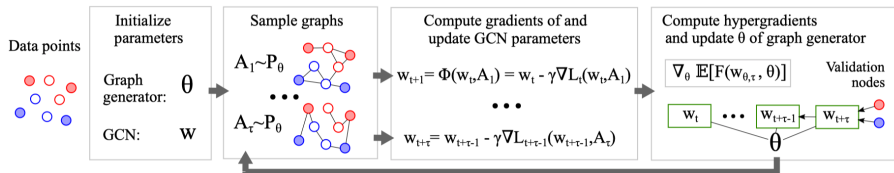
求解对 θ 的梯度, 将对期望的梯度近似为梯度的期望:

$$\begin{aligned} \nabla_{\theta} \mathbb{E}_{A \sim \text{Ber}(\theta)} [F(w_{\theta, T}, A)] &\approx \mathbb{E}_{A \sim \text{Ber}(\theta)} [\nabla_A F(w_{\theta, T}, A)] \\ &= \mathbb{E}_A [\partial_w F(w_{\theta, T}, A) \nabla_A w_{\theta, T} + \partial_A F(w_{\theta, T}, A)] \end{aligned}$$

同样使用 SGD 迭代近似最优解:

$$\theta' = \theta - \eta (\partial_w F(w_{\theta, T}, A) \nabla_A w_{\theta, T} + \partial_A F(w_{\theta, T}, A)), A \sim \text{Ber}(\theta)$$

LDS: 交替优化



进行 T 次内层迭代:

$$w_{\theta, t+1} = w_{\theta, t} - \gamma \nabla L(w_{\theta, t}, A_t), A_t \sim \text{Ber}(\theta)$$

进行一次外层迭代:

$$\theta' = \theta - \eta (\partial_w F(w_{\theta, T}, A) \nabla_A w_{\theta, T} + \partial_A F(w_{\theta, T}, A)), A \sim \text{Ber}(\theta)$$

优点

- ① 系统性提出 Graph Structure Learning 理念
- ② 双层优化方法
- ③ 使用迭代方式优化图结构和 GCN 参数

缺点

- ① 参数量大，优化速度较慢
- ② 边之间相互独立

Graph Structure Learning for Robust Graph Neural Networks(Pro-GNN)

真实图结构的性质 (properties) ²:

- 1 低秩
- 2 稀疏
- 3 邻接的节点特征相近

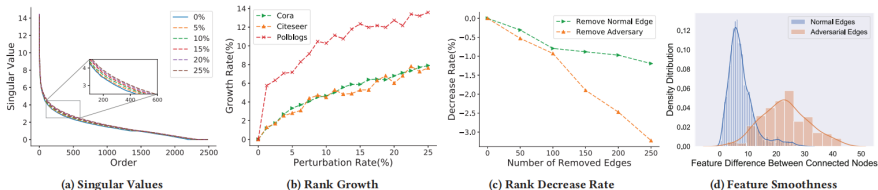


Figure 1: An illustrative example on the property changes of the adjacency matrix by adversarial attacks

²Graph Structure Learning for Robust Graph Neural Networks(KDD 2020)

Pro-GNN: 性质

1. 如何利用这些性质引导图结构的学习?

ProGNN 采取了**直接优化邻接矩阵 S** 的方法, 将 S 视作一个 $n * n$ 的参数矩阵, 这样这些性质可以表达为有关 S 的一系列损失函数。

图性质的损失函数

① 低秩和稀疏:

$$\mathcal{L}_0 = \|A - S\|_F^2 + \alpha \|S\|_1 + \beta \|S\|_*, s.t., S = S^T$$

② 特征平滑:

$$\mathcal{L}_s = tr(X^T \hat{L} X) = \frac{1}{2} \sum_{i,j=1}^N S_{ij} \left(\frac{x_i}{\sqrt{d_i}} - \frac{x_j}{\sqrt{d_j}} \right)^2, s.t., S = S^T$$

2. 如何联合学习图结构和图神经网络?

最终损失:

$$\begin{aligned}\arg \min_{S \in \mathcal{S}, \theta} \mathcal{L} &= \mathcal{L}_0 + \lambda \mathcal{L}_f + \gamma \mathcal{L}_{GNN} \\ &= \|A - S\|_F^2 + \alpha \|S\|_1 + \beta \|S\|_* + \gamma \mathcal{L}_{GNN}(\theta, S, X, \mathcal{Y}_L) \\ &\quad + \lambda \text{tr}(X^T \hat{L} X), \text{ s.t. } S = S^T\end{aligned}$$

由于一起求解较为困难, 使用**交替优化** (Alternative Optimization) 迭代求解。

交替优化

交替优化经常在 GSL 方法中出现, 用来解决双层优化等较困难的优化问题。其做法是固定一个, 优化另一个, 交替进行。

Pro-GNN: 优化

$$\arg \min_{S \in \mathcal{S}, \theta} \mathcal{L} = \|A - S\|_F^2 + \alpha \|S\|_1 + \beta \|S\|_* + \gamma \mathcal{L}_{GNN}(\theta, S, X, \mathcal{Y}_L) \\ + \lambda \text{tr}(X^T \hat{L} X), \text{ s.t. } S = S^T$$

优化 GNN:

$$\theta \leftarrow \eta' \frac{\partial \mathcal{L}_{GNN}(\theta, S, X, \mathcal{Y}_L)}{\partial \theta}$$

优化图结构 S : 核范数和 l_1 范数不可导, 需使用 Proximal Optimization 数学工具³



³[Jin et al., 2020]

Pro-GNN: 优化

整体算法:

Algorithm 1: Pro-GNN

Data: Adjacency matrix A , Attribute matrix X , Labels \mathcal{Y}_L ,
Hyper-parameters $\alpha, \beta, \gamma, \lambda, \tau$, Learning rate η, η'

Result: Learned adjacency S , GNN parameters θ

```
1 Initialize  $S \leftarrow A$ 
2 Randomly initialize  $\theta$ 
3 while Stopping condition is not met do
4    $S \leftarrow S - \eta \nabla_S (\|S - A\|_F^2 + \gamma \mathcal{L}_{GNN} + \lambda \mathcal{L}_S)$ 
5    $S \leftarrow \text{prox}_{\eta\beta \|\cdot\|_*}(S)$ 
6    $S \leftarrow \text{prox}_{\eta\alpha \|\cdot\|_1}(S)$ 
7    $S \leftarrow P_S(S)$ 
8   for  $i=1$  to  $\tau$  do
9      $g \leftarrow \frac{\partial \mathcal{L}_{GNN}(\theta, S, X, \mathcal{Y}_L)}{\partial \theta}$ 
10     $\theta \leftarrow \theta - \eta' g$ 
11 Return  $S, \theta$ 
```

每优化 τ 次 GNN 优化一次图结构 S



基于优化的图结构学习

优点

- ① 简单直接
- ② 可解释性强

缺点

- ① 复杂度高
- ② 优化困难
- ③ 无法帮助 GNN

1 研究背景

2 基于优化的图结构学习

- LDS
- Pro-GNN

3 基于图结构学习的图神经网络

- AGCN
- GRCN
- PTDNet
- Geom-GCN
- IDGL

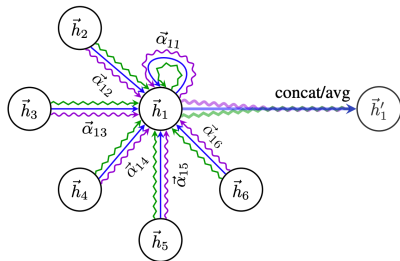
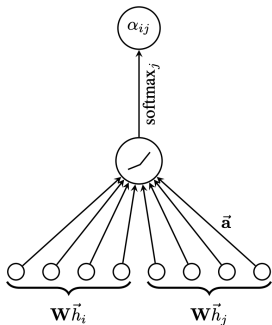
4 基于生成模型的图结构学习

5 无监督的图结构学习



GAT 与图结构学习

$$\alpha_{ij} = \frac{\exp(\text{LeakyReLU}(\vec{a}^T [W\vec{h}_i || W\vec{h}_j]))}{\sum_{k \in \mathcal{N}_i} \exp(\text{LeakyReLU}(\vec{a}^T [W\vec{h}_i || W\vec{h}_k]))}$$



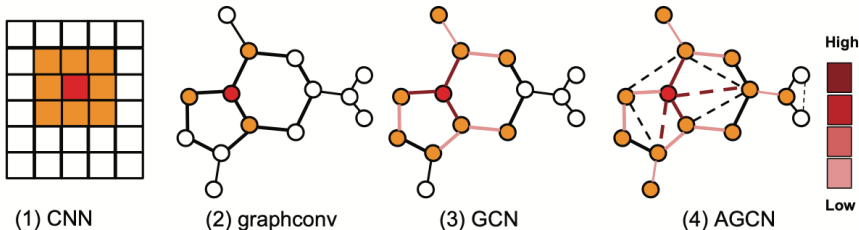
GAT 可看作一种特殊的图结构学习方法。



Adaptive Graph Convolutional Neural Networks (AGCN)

研究动机

现有的图神经网络采用消息传递机制，但仅能在已观测的边上传递信息。由于网络稀疏性问题，实际可传递有效信息的节点并没有被连接。



AGCN 与 CNN、图卷积和 GCN 的对比⁴

GCN 模型更新方式:

$$H^{(l+1)} = \sigma \left(\tilde{D}^{-\frac{1}{2}} \tilde{A} \tilde{D}^{-\frac{1}{2}} H^{(l)} W^{(l)} \right)$$

一个新的图结构即对应一个新的拉普拉斯矩阵。

AGCN 对图结构学习的设想

- 图结构可参数化学习
- 参数量少 (拉普拉斯矩阵参数化需要 $O(N^2)$ 的空间)
- 可被应用于不同的图结构 (可优化更多任务, 如点云分类)

解决方案: 基于核 (kernel) 的方法

AGCN 的图结构学习策略

使用广义 Mahalanobis 距离实现基于核的距离度量

$$\mathbb{D}(x_i, x_j) = \sqrt{(x_i - x_j)^T M (x_i - x_j)}$$

- x_i 是图卷积网络某一层中节点 i 的特征。
- $M = W_d W_d^T$, $W_d \in \mathbb{R}^{d \times d}$ 是可学习的 kernel。
- $M = I$ 时等价于欧式距离

将参数量从 $O(N^2)$ 降至 $O(d^2)$!



Adaptive Graph Convolutional Neural Networks

给定距离度量，使用 Gaussian Kernel 归一化得到稠密的邻接矩阵 \tilde{A} 。

$$\tilde{A}_{ij} \leftrightarrow \mathbb{G}_{x_i, x_j} = \exp(-\mathbb{D}(x_i, x_j)/(2\sigma^2))$$

将其作为残差结构与原图结构叠加，得到更新后的拉普拉斯矩阵并用于卷积图神经网络：

$$\hat{L} = L + \alpha L_{res} = L + \alpha(I - \tilde{D}^{-1/2} \tilde{A} \tilde{D}^{-1/2})$$

为什么要加上原来的图结构？



总结与归纳：

优点

- ① 模型简单，启发了很多后续的图结构学习工作
- ② 参数量小，便于优化

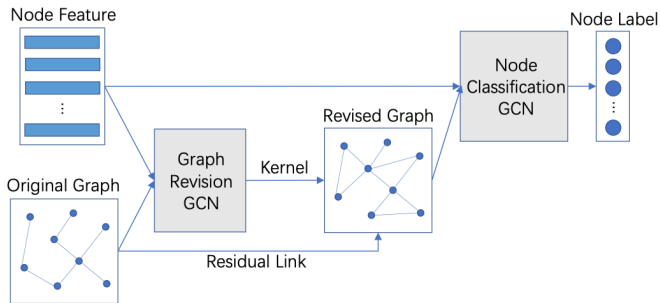
缺点

- ① 结构仅通过线性变换学习
- ② 学习的拉普拉斯矩阵过于稠密
- ③ 图神经网络没有给结构学习带来信息
- ④ 模型缺乏明确的结构学习优化目标

Graph-Revised Convolutional Network(GRCN)

研究动机

图结构学习不应只增加边，稀疏性是图数据的天然特性。



GRCN 模型⁵

⁵Graph-Revised Convolutional Network(ECML-PKDD 2020)

Graph-Revised GCN 模块

利用原始的节点特征和图结构，学习节点之间基于表征 z_i, z_j 的邻近性 S_{ij} 进而更新图结构 \tilde{A} 。

$$Z = GCN_g(A, X)$$

$$S_{ij} = k(z_i, z_j)$$

$$\tilde{A} = A + S$$

相比于 AGCN，这里使用了更为“暴力”的相似度学习方式。

Graph Sparsification 模块

直接将稠密相似度矩阵 S 与原始邻接矩阵 A 相加, 会导致邻接矩阵非常稠密, 因此使用 KNN 进行稀疏化。

$$S_{ij}^{(K)} = \begin{cases} S_{ij}, S_{ij} \in \text{top } K (S_i) \\ 0, S_{ij} \notin \text{top } K (S_i). \end{cases}$$

为了保持邻接矩阵的对称性, 做对称性变换

$$\hat{S}_{ij} = \begin{cases} \max \left(S_{ij}^{(K)}, S_{ji}^{(K)} \right), & S_{ij}^{(K)}, S_{ij}^{(K)} \geq 0 \\ \min \left(S_{ij}^{(K)}, S_{ji}^{(K)} \right), & S_{ij}^{(K)}, S_{ij}^{(K)} \leq 0 \end{cases}$$



GRCN: 模型训练

将更新之后的图结构与原始特征一起训练 Node Classification GCN 模块:

$$\hat{Y} = GCN_c(\tilde{A}, X)$$
$$\zeta = - \sum_{i \in \mathcal{V}_L} \sum_{j=1}^C Y_{ij} \ln \hat{Y}_{ij}$$

整个过程完全使用神经网络进行学习和优化。



GRCN: 实验效果

Models	Cora-Full	Amazon Computers	Coauthor CS
GCN	60.3 ± 0.7	81.9 ± 1.7	91.3 ± 0.3
SGC	59.1 ± 0.7	81.8 ± 2.3	91.3 ± 0.2
GAT	59.9 ± 0.6	81.8 ± 2.0	89.5 ± 0.5
LDS	N/A	N/A	N/A
GLCN	59.1 ± 0.7	80.4 ± 1.9	90.1 ± 0.5
Fast-GRCN	60.2 ± 0.5*	83.5 ± 1.6*	91.2 ± 0.4*
GRCN	60.3 ± 0.4	83.7 ± 1.8	91.3 ± 0.3

思考

GRCN 在什么情况下可以取得效果的提升?

Learning to Drop: Robust Graph Neural Network via Topological Denoising

研究动机

网络中观察到的边往往存在与任务无关的边，通过这些节点传递信息往往给节点表征学习带来噪声。

		Ratio of positive edges removed										
		0	0.1	0.2	0.3	0.4	0.5	0.6	0.7	0.8	0.9	1
Ratio of negative edges removed	0	60.1	60.1	55.7	55.2	54.8	54.8	54.2	53.8	53.6	53.5	53.5
	0.1	64.2	63.7	61.4	60.0	59.6	59.4	59.3	58.7	58.7	58.6	57.4
	0.2	69.6	68.2	66.5	66.4	66.1	65.4	63.6	63.8	62.6	62.1	61.2
	0.3	72.8	72.3	71.5	70.5	70.2	69.0	68.3	67.7	68.9	67.6	66.8
	0.4	79.3	76.9	74.5	73.5	73.5	72.9	72.6	71.8	71.2	70.3	69.5
	0.5	80.4	79.2	78.0	76.6	75.6	75.3	75.1	74.3	73.7	73.6	72.3
	0.6	83.6	82.4	81.3	80.6	80.3	78.6	78.1	77.3	76.8	75.0	74.1
	0.7	83.9	82.6	81.6	81.5	81.0	80.1	79.5	78.2	78.1	77.7	76.5
	0.8	85.5	83.8	83.5	82.8	81.1	80.7	80.7	79.9	79.6	79.9	79.4
	0.9	86.3	86.1	84.8	83.6	83.6	82.6	82.4	81.8	81.3	81.1	81.0
1	87.2	86.2	85.3	85.1	84.3	84.1	84.0	83.0	82.1	82.1	81.1	

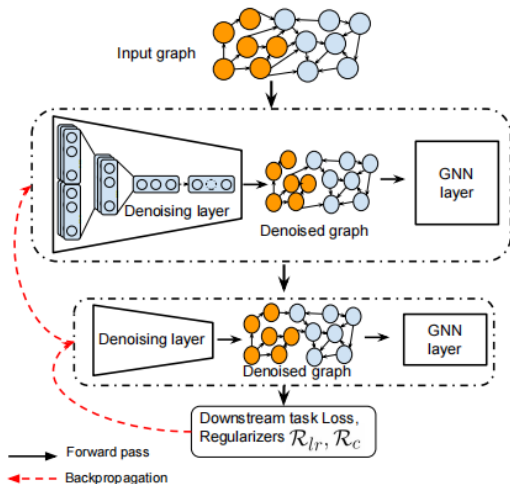
Dropout 的思想被用于神经网络用以加强模型鲁棒性，PTDNet⁶希望通过删除部分边来提升图神经网络的鲁棒性。

图的稀疏化和图结构学习

- ① 图的稀疏化可以视作一种图结构学习，但仅在初始存在的边上进行，即可以去除冗余的边，但不能增加新边（后者往往需要耗费更多空间）。
- ② 该不同之处通常表现在得到新的结构后与原结构乘还是加。

⁶Learning to Drop: Robust Graph Neural Network via Topological Denoising(WSDM 2021)

PTDNet: 降噪网络



将节点间边的概率基于节点的特征，并用神经网络进行学习。

- ① 每层 GCN 均配备一个降噪网络，使用上一层表
征： $\alpha_{ij}^l = MLP^l(\vec{h}_i^l, \vec{h}_j^l)$
- ② 重采样，使概率模型可导：
 $\beta_{ij}^l = \text{sigmoid}((\log \epsilon - \log(1 - \epsilon) + \alpha_{ij}^l)/\tau), \epsilon \sim \text{Uniform}(0, 1)$
- ③ 将其映射至 0-1 之间： $Z_{ij}^l = P_S(\beta_{ij}^l)$
- ④ 与原结构相乘（这里决定了无法添加新边）： $S^l = A \odot Z^l$
- ⑤ 卷积： $H^{l+1} = GCN^l(S^l, X)$

PTDNet: 实验效果

Backbone	Method	Cora	Citeseer	Pubmed	PPI
GCN	Basic	0.811 \pm 0.015	0.703 \pm 0.012	0.790 \pm 0.020	0.660 \pm 0.024
	DropEdge	0.809 \pm 0.035	0.722 \pm 0.032	0.785 \pm 0.043	0.606 \pm 0.041
	NeuralSparse	0.821 \pm 0.014	0.715 \pm 0.014	0.788 \pm 0.018	0.651 \pm 0.014
	PTDNet-wl	0.824 \pm 0.018	0.717 \pm 0.170	0.791 \pm 0.012	0.752 \pm 0.017
	PTDNet	0.828 \pm 0.026	0.727 \pm 0.018	0.798 \pm 0.024	0.803 \pm 0.008
GraphSage	Basic	0.792 \pm 0.027	0.676 \pm 0.023	0.767 \pm 0.020	0.618 \pm 0.014
	DropEdge	0.787 \pm 0.023	0.670 \pm 0.031	0.748 \pm 0.026	0.610 \pm 0.035
	NeuralSparse	0.793 \pm 0.021	0.674 \pm 0.011	0.751 \pm 0.021	0.626 \pm 0.023
	PTDNet-wl	0.794 \pm 0.026	0.678 \pm 0.022	0.770 \pm 0.024	0.645 \pm 0.020
	PTDNet	0.803 \pm 0.019	0.679 \pm 0.018	0.771 \pm 0.010	0.648 \pm 0.025
GAT	Basic	0.830 \pm 0.007	0.721 \pm 0.009	0.790 \pm 0.008	0.973 \pm 0.012
	DropEdge	0.832 \pm 0.040	0.709 \pm 0.020	0.779 \pm 0.019	0.850 \pm 0.038
	NeuralSparse	0.834 \pm 0.015	0.724 \pm 0.026	0.780 \pm 0.017	0.921 \pm 0.018
	PTDNet-wl	0.837 \pm 0.022	0.723 \pm 0.014	0.792 \pm 0.014	0.978 \pm 0.018
	PTDNet	0.844 \pm 0.023	0.737 \pm 0.031	0.793 \pm 0.015	0.980 \pm 0.022

Geometric Graph Convolutional Networks(Geom-GCN)

研究动机

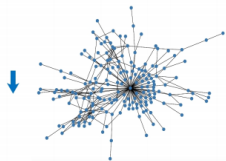
- 现有的基于消息传递机制的 GNN，容易损失长距离、全局结构信息，在同质性低（相邻节点倾向于不同类别）的图上表现不佳。
- 简单堆叠深层 GNN 产生过度平滑问题，一个簇中的节点表征经过多层消息传播趋同。

Geom-GCN⁷的解决思路：通过结构学习使得需要传递消息的节点对成为邻居。

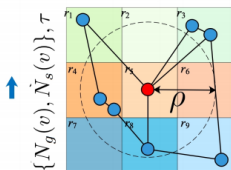
⁷Geometric Graph Convolutional Networks(ICLR 2020)

Geom-GCN

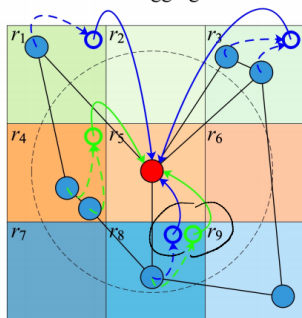
A1 Original graph



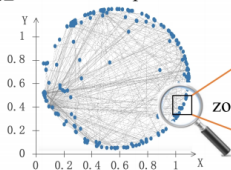
B2 Structural neighborhood



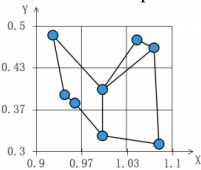
→ C Bi-level aggregation



A2 Latent space



B1 Local latent space



- 使用图嵌入方法，获得节点的隐空间表征。
- 根据这些表征，在图中构建新边。
- 为区分边的类型，改动 GCN 的消息传播方式

实现步骤:

- 1 使用 embedding method 获得图中节点隐空间表征: $e_v = f(v)$
- 2 定义规则从隐空间中产生新边:
 $N_s(v) = \{u | u \in V, d(e_u, e_v) < \rho\}$, 即在隐空间中相近的节点间构建新边。
- 3 定义边的类型: $r = \tau(e_u, e_v), u \in N_g(v) \cup N_s(v)$
(论文中隐空间表征 2 维, 将其按位置关系简单分为 4 类, 考虑边的来源总共为 8 类)

$\tau(z_v, z_u)$	$z_v[0] > z_u[0]$	$z_v[0] \leq z_u[0]$
$z_v[1] \leq z_u[1]$	upper left	upper right
$z_v[1] > z_u[1]$	lower left	lower right

边类型的产生

实现步骤:

- ① 使用 embedding method 获得图中节点隐空间表征: $e_v = f(v)$
- ② 定义规则从隐空间中产生新边:
 $N_s(v) = \{u | u \in V, d(e_u, e_v) < \rho\}$, 即在隐空间中相近的节点间构建新边。
- ③ 定义边的类型: $r = \tau(e_u, e_v), u \in N_g(v) \cup N_s(v)$
- ④ 不同类型的边分别进行传播, 之后再聚合

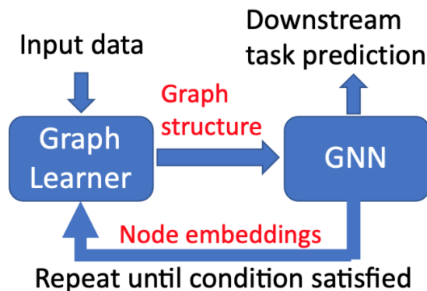
$$\mathbf{e}_{(i,r)}^{v,l+1} = \sum_{u \in N_i(v)} \delta(\tau(\mathbf{z}_v, \mathbf{z}_u), r) (\deg(v) \deg(u))^{\frac{1}{2}} \mathbf{h}_u^l$$

$$\mathbf{h}_v^{l+1} = \sigma \left(\mathbf{W}_l \cdot \prod_{i \in \{g,s\}} \|\mathbf{e}_{(i,r)}^{v,l+1}\| \right)$$

Iterative Deep Graph Learning for Graph Neural Networks: Better and Robust Node Embeddings

研究动机

图结构与图神经网络学习可以相互帮助：好的图结构可以学习好的图神经网络，好的图神经网络结果可以帮助建模更准确的网络结构。



从图结构学习到图神经网络

- 图结构沿用 AGCN 的思想：融合原始网络结构与学习过程中的网络结构

$$\tilde{\mathbf{A}}^{(t)} = \lambda \mathbf{L}^{(0)} + (1 - \lambda) \{ \eta \mathbf{f}(\mathbf{A}^{(t)}) + (1 - \eta) \mathbf{f}(\mathbf{A}^{(1)}) \}$$

- 图神经网络沿用经典的 GCN：

$$\mathbf{Z} = \text{ReLU} \left(\text{MP}(\mathbf{X}, \tilde{\mathbf{A}}) \mathbf{W}_1 \right), \hat{\mathbf{y}} = \sigma \left(\text{MP}(\mathbf{Z}, \tilde{\mathbf{A}}) \mathbf{W}_2 \right)$$

$$\mathcal{L}_{\text{pred}} = \ell(\hat{\mathbf{y}}, \mathbf{y})$$



根据图神经网络学习图结构

基本假设

具有相似的低维表征的节点对，有更大的概率生成边。

基于节点表征的边概率计算：

- 第一层：基于向量的相似度计算

$$S_{ij} = \cos(\vec{w}_p \odot \vec{z}_i, \vec{w}_p \odot \vec{z}_j)$$

- 第二层：基于多头向量的相似度计算

$$S_{ij} = \frac{1}{m} \sum_{p=1}^m \cos(\vec{w}_p \odot \vec{z}_i, \vec{w}_p \odot \vec{z}_j)$$



根据图神经网络学习图结构

使用节点表征相似度预测图结构的缺陷：

- ① 计算复杂度高
- ② 网络过于稠密

IDGL 的解决方案：

- 第三层：Anchor-based 度量学习：

$$a_{ik}^p = \cos(\mathbf{w}_p \odot \mathbf{v}_i, \mathbf{w}_p \odot \mathbf{u}_k), \quad a_{ik} = \frac{1}{m} \sum_{p=1}^m a_{ik}^p$$

- 第四层：图稀疏化。只选择每个节点最近的 K 个节点，或相似度大于阈值 ϵ 的邻居节点。

IDGL 迭代优化的缺陷

图结构学习模块缺少监督信号，容易陷入局部平凡解 (Trivial Solution)

好的图结构应具有如下性质：

- 1 平滑性：临近的节点的属性相似度应该逐渐下降

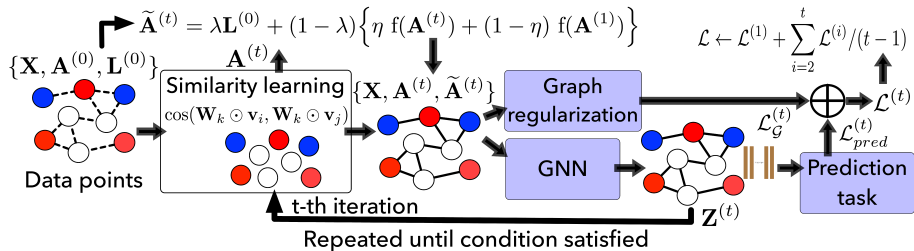
$$\Omega(\mathbf{A}, \mathbf{X}) = \frac{1}{2n^2} \sum_{i,j} A_{ij} \|\mathbf{x}_i - \mathbf{x}_j\|^2 = \frac{1}{n^2} \text{tr}(\mathbf{X}^T \mathbf{L} \mathbf{X})$$

- 2 连通性：网络中的节点尽可能构成联通图
- 3 稀疏性：网络中的边总体稀疏

$$f(\mathbf{A}) = \frac{-\beta}{n} \mathbf{1}^T \log(\mathbf{A}\mathbf{1}) + \frac{\gamma}{n^2} \|\mathbf{A}\|_F^2$$



IDGL 模型



IDGL 方法示意图

优点

- 1 提出了统一的迭代学习框架
- 2 明确了结构学习的优化目标
- 3 使用多种手段兼顾效率与精度

循环优化图神经网络

一般形式：

- 1 使用已有结构学习节点表征 z

$$\mathbf{z} = GNN(X, A)$$

- 2 利用节点表征相似度学习图结构：

$$\tilde{A}_{ij} = \phi(\mathbf{z}_i, \mathbf{z}_j)$$

- 3 融合输入结构和学习图结构

$$\mathbf{A}^* = g(\mathbf{A}, \tilde{\mathbf{A}})$$

迭代循环，直至收敛。



基于节点相似度的图结构生成

① Gaussian Kernel

$$\phi(\mathbf{z}_i, \mathbf{z}_j) = \sqrt{(\mathbf{z}_i - \mathbf{z}_j)^\top \mathbf{M} (\mathbf{z}_i - \mathbf{z}_j)}$$
$$\tilde{\mathbf{A}}_{ij} = \exp\left(-\frac{\phi(\mathbf{z}_i, \mathbf{z}_j)}{2\sigma^2}\right)$$

② 向量内积

$$\tilde{\mathbf{A}} = \sigma(\mathbf{Z}\mathbf{Z}^\top)$$

③ Cosine 相似度

$$\phi(\mathbf{z}_i, \mathbf{z}_j) = \frac{\mathbf{z}_i \mathbf{z}_j^\top}{\|\mathbf{z}_i\|_2 \|\mathbf{z}_j\|_2}$$

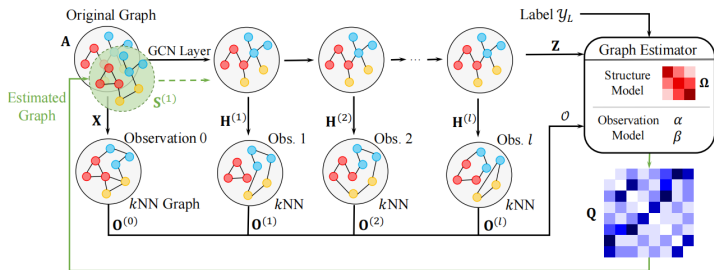


- 1 研究背景
- 2 基于优化的图结构学习
 - LDS
 - Pro-GNN
- 3 基于图结构学习的图神经网络
 - AGCN
 - GRCN
 - PTDNet
 - Geom-GCN
 - IDGL
- 4 基于生成模型的图结构学习
- 5 无监督的图结构学习



Graph Structure Estimation Neural Networks

GEN 是一种**概率建模 GSL 方法**，相比之前这一类方法考虑图结构的内在产生过程，往往对这一过程参数化，并使用合适的优化方法与节点分类任务结合。



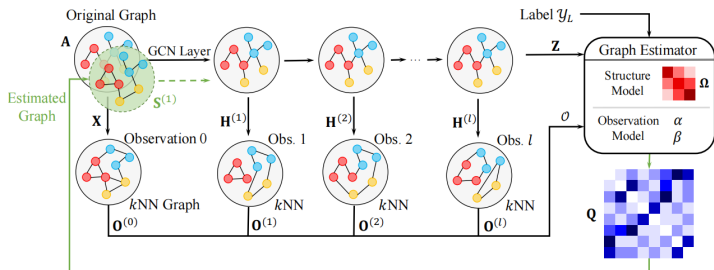
GEN 的模型示意图



Graph Structure Estimation Neural Networks

研究动机

现有的图结构学习方法仅考虑图数据的判别特性（节点之间是否有边），对网络的生成过程缺乏可解释性。



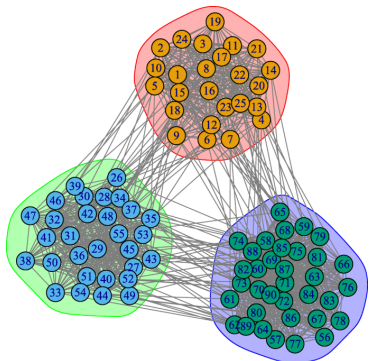
GEN 的模型示意图⁸

⁸[Wang et al., 2021]

SBM 模型简介

Stochastic Block Model(SBM)

Stochastic Block Model(SBM) 是一种经典的网络生成模型。它假设网络中边的生成是由两个节点的社区分布决定，即属于同一个社区的节点有更大的概率生成边，不同社区的节点生成边的概率更小。



GEN 的图结构建模

在 SBM 模型的假设下，网络中存在边的概率只与两个节点所属的社区有关。给定参数矩阵 $\Omega \in \mathcal{S}^{|C| \times |C|}$ ，观测到网络的概率为：

$$P(G|\Omega, Z, \mathcal{Y}_L) = \prod_{i < j} \Omega_{c_i c_j}^{G_{ij}} (1 - \Omega_{c_i c_j})^{1 - G_{ij}}$$

c_i 表示节点 i 的类别。当其属于训练集时，使用真实标签；当属于无标签节点时，使用预测标签。

$$c_i = \begin{cases} y_i & \text{if } v_i \in \mathcal{V}_L \\ z_i & \text{otherwise} \end{cases}$$



模型假设

给定最优的图结构 G ，真实观测的图结构由最优图结构随机采样后生成。

定义最优图结构下有边和没有边，在观测图结构下存在边的概率为 α ， β ，观测图结构的概率为：

$$P(O | G, \alpha, \beta) = \prod_{i < j} [\alpha^{E_{ij}} (1 - \alpha)^{M - E_{ij}}]^{G_{ij}} \times [\beta^{E_{ij}} (1 - \beta)^{M - E_{ij}}]^{1 - G_{ij}}$$

其中 E_{ij} 为给定的一组 M 个观测图结构中 ij 之间出现边的次数，

GEN 的模型优化

GEN 模型需要优化的参数有最优图结构 G 和图神经网络参数 Θ 。然而参数优化存在两大类困难：

- ① 两种参数高度耦合（迭代求解）
- ② 最优图结构 Q 为离散变量（转化为伯努利分布参数）

优化 GNN:

$$\theta \leftarrow \eta' \frac{\partial \mathcal{L}_{GNN}(\theta, S, X, \mathcal{Y}_L)}{\partial \theta}$$

优化图结构 S :

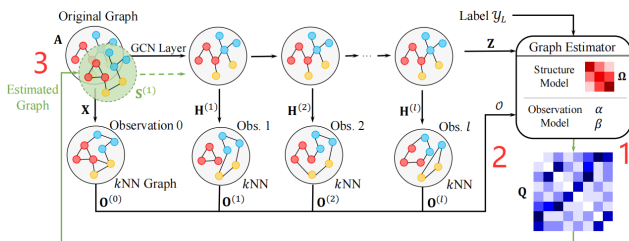
$$S \leftarrow EM(O^{(0)}, O^{(1)}, O^{(2)}, \dots, O^{(l)}, O^{(l+1)})$$

式中 $O^{(i)}$ 为不同阶段的表征产生的 KNN 图。



GEN 的基本思路:

- 1 假设存在一个图的最优结构，从一个SBM 模型中生成。
- 2 假设该最优结构存在多个观测，从节点不同阶段的表示中各自生成 KNN 图作为观测。
- 3 交替优化，在训练好的 GCN 基础上使用EM 算法求解最优结构，将其作为新的结构重新训练。



GEN 的模型示意图

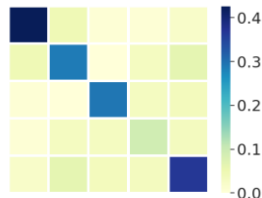
GEN: 同质性

在 toy dataset 上验证了:GEN 可以增加相同类别节点之间的边, 减少连接不同类别的边。

体现了 GEN 可以学习具有同质性的图结构的能力。



(a) Original graph



(b) Estimated graph

GEN 产生结构的同质性



- 1 研究背景
- 2 基于优化的图结构学习
 - LDS
 - Pro-GNN
- 3 基于图结构学习的图神经网络
 - AGCN
 - GRCN
 - PTDNet
 - Geom-GCN
 - IDGL
- 4 基于生成模型的图结构学习
- 5 无监督的图结构学习



以上的方法都基于有监督情况，结构学习依赖监督信息

Drawbacks

- 1 不平衡。标签有限时有标签节点周围边受到监督信息引导，但距离有标签节点距离远的边难以学习。
- 2 不实用。相较于监督情况，无监督情况更广泛。
- 3 不通用。对于每个任务都要重新学习结构，不能学习一个通用的结构。

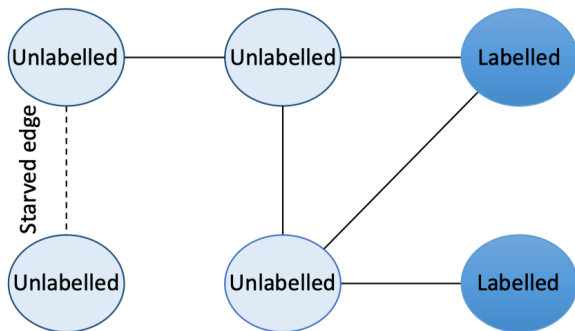
近期出现的 Unsupervised GSL 工作大多利用了对比学习的思想，关键在于如何设计不同的 view，如何融入结构学习。

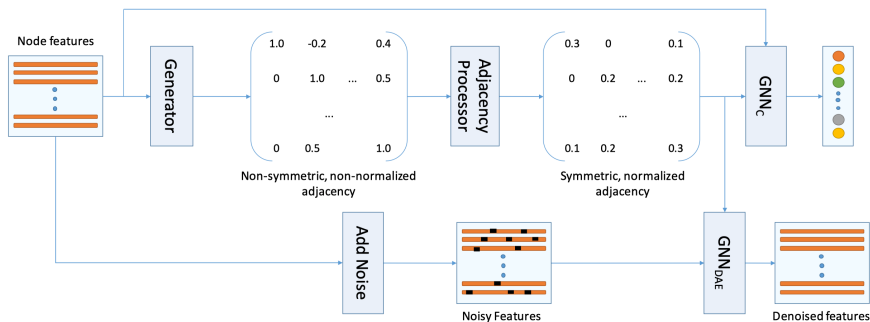


SLAPS: Self-Supervision Improves Structure Learning for Graph Neural Networks

研究动机

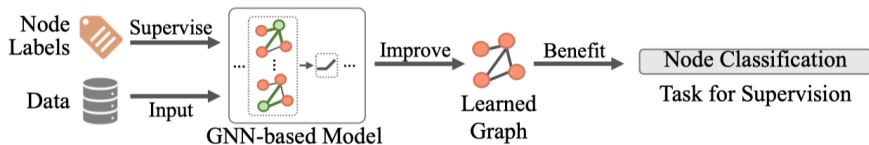
传统的 GSL 方法，虽然使用了半监督模型帮助引导结构学习，但是并不是所有节点都会被惠及。



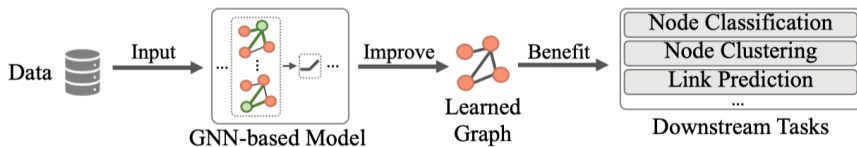


SLAPS 解决方案：引入 DAE 作为自监督信号

Towards Unsupervised Deep Graph Structure Learning

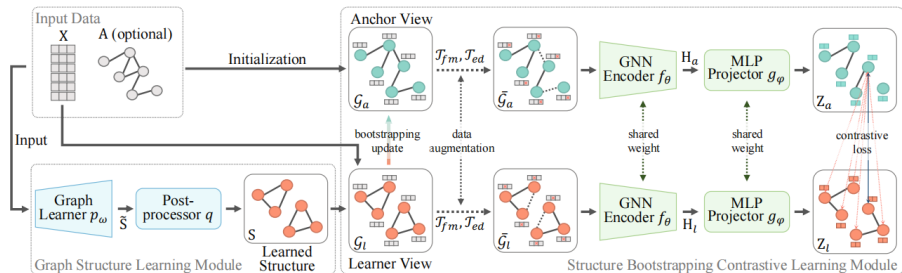


有监督 GSL



无监督 GSL⁹

Towards Unsupervised Deep Graph Structure Learning



可学习的 GSL 模块产生 learner view, 原结构作为 anchor view, 最大化两个 view 之间的互信息 (MI)

Graph Learner

Graph Learner 用于学习图结构，本文讨论了多种传统的方法：

- 1 直接优化
- 2 Metric Learning

1. 直接将整个图作为参数：

$$S = g(\Omega), \Omega \in R^{n \times n}$$

2. Learnable encoder+metric：

$$S = metric(encoder_w(X, A))$$

再经过后处理操作（对称化、稀疏化等）得到 learner view

$$G_l = (S, X)$$



Metric Learning based Graph Learner 的几种实现方式:

① Attentive Learner:

$$\mathbf{E}^{(l)} = h_w^{(l)}(\mathbf{E}^{(l-1)}) = \sigma \left(\left[\mathbf{e}_1^{(l-1)} \odot \omega^{(l)}, \dots, \mathbf{e}_n^{(l-1)} \odot \omega^{(l)} \right]^\top \right)$$

② MLP Learner:

$$\mathbf{E}^{(l)} = h_w^{(l)}(\mathbf{E}^{(l-1)}) = \sigma(\mathbf{E}^{(l-1)} \Omega^{(l)})$$

③ GNN Learner

$$\mathbf{E}^{(l)} = h_w^{(l)}(\mathbf{E}^{(l-1)}, \mathbf{A}) = \sigma \left(\tilde{\mathbf{D}}^{-\frac{1}{2}} \tilde{\mathbf{A}} \tilde{\mathbf{D}}^{-\frac{1}{2}} \mathbf{E}^{(l-1)} \right)$$

Post-processor

Post-processor 用于处理 Graph Learner 学到的结果，以便于下游应用和训练。

图结构稀疏化 Sparsification:

$$\tilde{\mathbf{s}}_{ij}^{(sp)} = q_{sp} \left(\tilde{\mathbf{S}}_{ij} \right) = \begin{cases} \tilde{\mathbf{s}}_{ij}, & \tilde{\mathbf{S}}_{ij} \in \text{top-k} \left(\tilde{\mathbf{S}}_i \right), \\ 0, & \tilde{\mathbf{S}}_{ij} \notin \text{top-k} \left(\tilde{\mathbf{S}}_i \right), \end{cases}$$

图归一化:

$$\tilde{\mathbf{S}}^{(sym)} = q_{sym} \left(q_{act} \left(\tilde{\mathbf{S}}^{(sp)} \right) \right) = \frac{\sigma_q \left(\tilde{\mathbf{S}}^{(sp)} \right) + \sigma_q \left(\tilde{\mathbf{S}}^{(sp)} \right)}{2}$$



Contrastive Learning

得到 learner view $G_l(A, S)$ 后和预先指定的 anchor view (文中设置为原图 $G_a = (A, X)$) 进行对比学习。

使用共享的 GCN+MLP 得到表征:

$$Z_l = g_\phi(f_\theta(\bar{G}_l)), Z_a = g_\phi(f_\theta(\bar{G}_a))$$

对比学习最大化互信息:

$$\mathcal{L} = \frac{1}{2n} \sum_{i=1}^n [\ell(z_{l,i}, z_{a,i}) + \ell(z_{a,i}, z_{l,i})]$$

$$\ell(z_{l,i}, z_{a,i}) = \log \frac{e^{\text{sim}(z_{l,i}, z_{a,i})/t}}{\sum_{k=1}^n e^{\text{sim}(z_{l,i}, z_{a,k})/t}}$$



更新 Anchor view

一直使用原图作为 anchor view 会带来原结构中的误差，文中每隔若干轮次更新，和当前学习的结构加权：

$$A_a = \tau A_a + (1 - \tau)S$$



Reliable Representations Make A Stronger Defender: Unsupervised Structure Refinement for Robust GNN(STABLE)

研究动机

聚焦基于距离度量的 GSL 方法，认为监督情况下得到的表征容易受扰动，本身质量不佳，不能产生好的结构。

STABLE¹⁰解决方案：

- ① 使用对比学习得到更可靠的表征
- ② 利用更可靠的表征更新图结构

¹⁰Reliable Representations Make A Stronger Defender: Unsupervised Structure Refinement for Robust GNN(KDD 2022)



基本假设

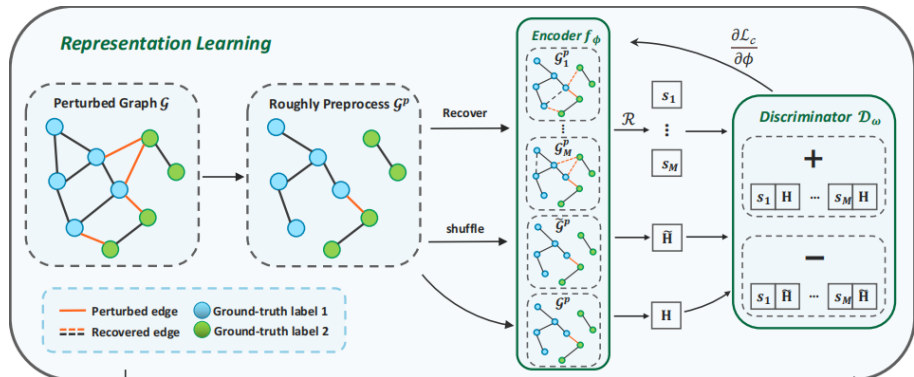
实际对抗攻击过程，往往是增加边而不是删除边。

对于一个含噪声的图 G :

- 1 删除一部分边，得到噪声程度低的图 G^p
- 2 从 G^p 中随机恢复被删除的边，构成 M 个噪声程度较高的图 $G_1^p, G_2^p, \dots, G_M^p$
- 3 要求从 G^p 和 $G_1^p, G_2^p, \dots, G_M^p$ 得到的表征接近，同时 shuffle G^p 得到 \tilde{G}^p 作为负样本，要求 \tilde{G}^p 和 $G_1^p, G_2^p, \dots, G_M^p$ 得到的表征接近

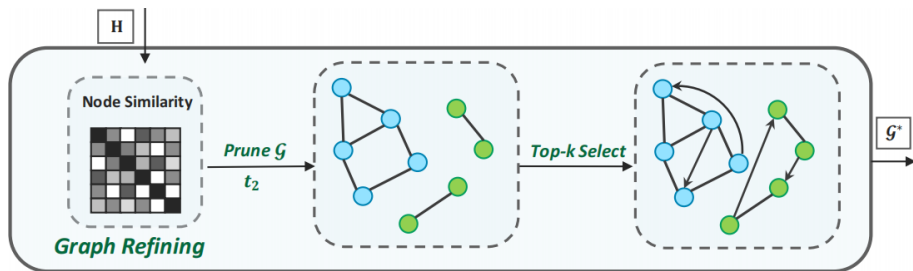


STABLE: Representation Learning



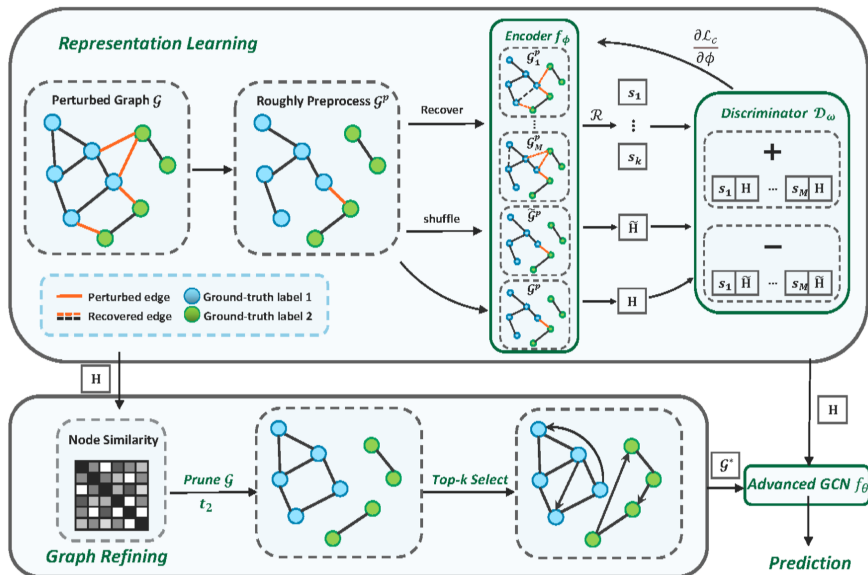
STABLE: Graph Refining

在获得 reliable 的表征 H 后，使用常规的相似度计算和后处理得到最终的结构：



该结构与任务无关的，从无监督方法获得，可以直接用于多个下游任务。

STABLE



当前图结构学习的问题：

- 1 图结构学习，只假设网络结构有问题，没有关注网络中节点属性的问题
- 2 半监督信号能否指导全局节点的结构学习
- 3 如何避免模型训练过程中的 error propagation
- 4 ...

图结构学习的端到端应用：

- 1 图异常检测
- 2 社区发现
- 3 图对抗攻防
- 4 ...



课程总结

- 1 研究背景
- 2 基于优化的图结构学习
 - LDS
 - Pro-GNN
- 3 基于图结构学习的图神经网络
 - AGCN
 - GRCN
 - PTDNet
 - Geom-GCN
 - IDGL
- 4 基于生成模型的图结构学习
- 5 无监督的图结构学习



References I

-  Jin, W., Ma, Y., Liu, X., Tang, X., Wang, S., and Tang, J. (2020).
Graph structure learning for robust graph neural networks.
In *Proceedings of the 26th ACM SIGKDD International Conference on Knowledge Discovery & Data Mining*, pages 66–74.
-  Wang, R., Mou, S., Wang, X., Xiao, W., Ju, Q., Shi, C., and Xie, X. (2021).
Graph structure estimation neural networks.
In *Proceedings of the Web Conference 2021*, pages 342–353.

